連結板の板幅が異なる高力ボルト摩擦接合継手の力学挙動に関する基礎的研究

九州工業大学 学生会員○末田 麻海

九州工業大学 正会員 高井 俊和

1. はじめに

高力ボルト摩擦接合継手部は、鋼橋で腐食の生じやすい箇所の1つに挙げられる。継手部の腐食により高力ボルトや連結板が取替えられる場合がある。継手部の全体を分解せずに連結板を交換するには、図1に示すように、連結板を短冊状に交換する方法が考えられる。例えば腐食が片側で、その連結板のみを交換する場合は、母板と交換しない連結板が板幅方向に対して連続である一方、交換した短冊状の連結板は板幅方向に不連続となる。このような連結板の条件が異なることによる継手の力学的挙動への影響が不明であるため、FEM 解析を実施し確認した。

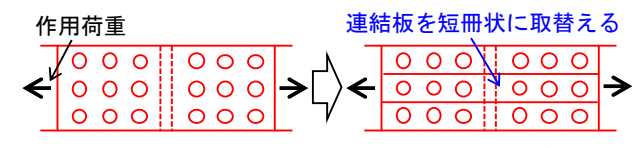
2. 解析ケース

継手の諸元を表1にまとめる. 片側に高力ボルトを1行2列配置した継手である. 解析ケースを表2に示す. ケース a はすべり試験体に相当する高力ボルトが1行配置されたケースである. ケース b は複数行配置に相当する. ケース c は片側の連結板を取替え短冊状にしたケース, ケース d は片側の連結板を取替え板幅が5 mm 狭い短冊状としたケースである.

3. 解析方法

解析プログラムは Abaqus Standard v6.13 を用いて FEM 解析を実施した. 図 2 のように対称性を考慮した 1/4 モデルとした. 複数行配置のケースは, コバ面に も対称境界条件を設定[1] し周期対称性を再現した. 要素長が 3 mm 程度の均一とした 8 節点低減積分ソリッド要素を用いた. 材料特性は, JIS で規定される降伏点 (耐力), 引張強さの下限値を用いた. ヤング係数 E は 200,000 N/mm², 降伏から引張強さまでの接線勾配が E/100, 引張強さ以降の勾配が 0 のトリリニアとした. ポアソン比は 0.3 とした. 母板と連結板間の摩擦係数 はすべり発生までを 0.5, ボルト孔とボルト軸部が接触した以降を 0.25, その間を線形変化させた.

すべり荷重は、母板と連結板の相対変位に着目し、 母断端から 15 mm 位置の内側相対変位が 0.2 mm に達 した時点の母板の引張作用荷重とした。降伏荷重は、 母板と連結板のコバ面の Mises 応力が 1 要素幅で降伏 点に達した時点の荷重とした。終局荷重は、母板と連



(a)取替え前

(b) 取替え後

図1 連結板の取替えイメージ

表 1 継手の諸元

目標すべり/降伏耐力比β			0.6	0.9	1.2			
ボルト	等級・呼び		F10T M22					
	耐力	(N/mm^2)	900					
	引張強さ	(N/mm^2)	1,000					
	片側本数		2					
	設計ボルト軸力	(kN)	205					
	設計すべり係数		0.5					
	すべり耐力	り耐力			410			
母板/	鋼種		SM 490Y					
連結板	降伏点	(N/mm^2)	355					
	引張強さ	(N/mm^2)	490					
	母板厚	(mm)	20					
	連結板厚	(mm)	10					
	板幅	(mm)	120	88	72			
	ボルト孔径	(mm)	24.5					
	純幅	(mm)	95.5	63.5	47.5			
	母板降伏耐力	(kN)	678	451	337			
設計すべり/降伏耐力比β			0.605	0.909	1.216			

表 2 解析ケース

ケース	コバ面の拘束条件		板幅 (mm)			
	母板	連結板		母板	連結板	
		1	2	母似	1	2
a	自由	自由	自由	β =0.6 : 120 β =0.9 : 88 β =1.2 : 72		左に
b	対称	対称	対称			足に同じ
С	対称	対称	自由			IHJ C
d	対称	対称	自由			*

対称:コバ面に板幅方向の対称境界条件を設定した ※:板幅を母板の板幅-5 mmとした

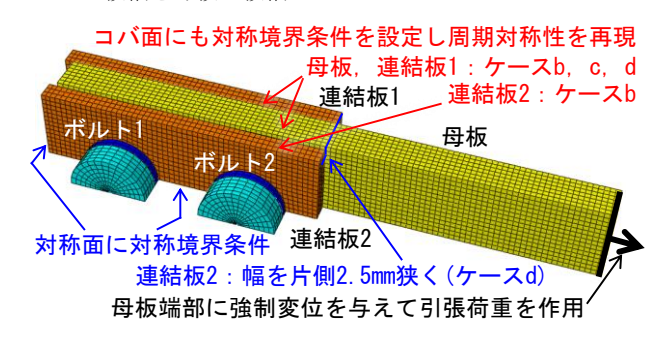
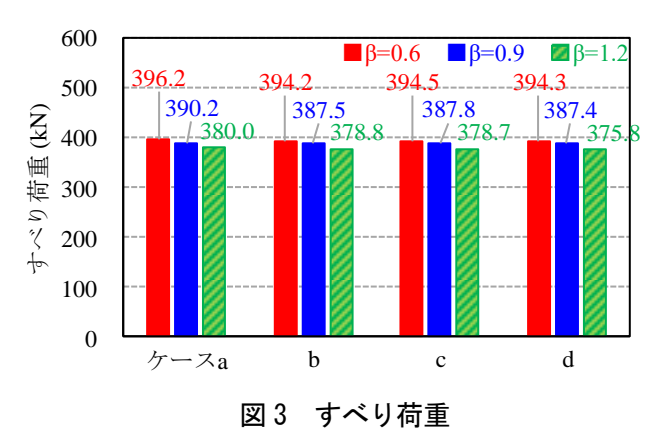


図 2 解析モデルの概要 (β =0.9, ケース d)

結板のボルト孔壁またはボルト軸部の相当塑性ひずみが 1 要素幅で、JIS に規定される破断伸びである 19% (SM490Y)、14% (F10T) に達した時点の荷重[2]とした. いずれの荷重とも、それぞれ着目した各部位でタイミングが異なる場合は最も早い時点とした.



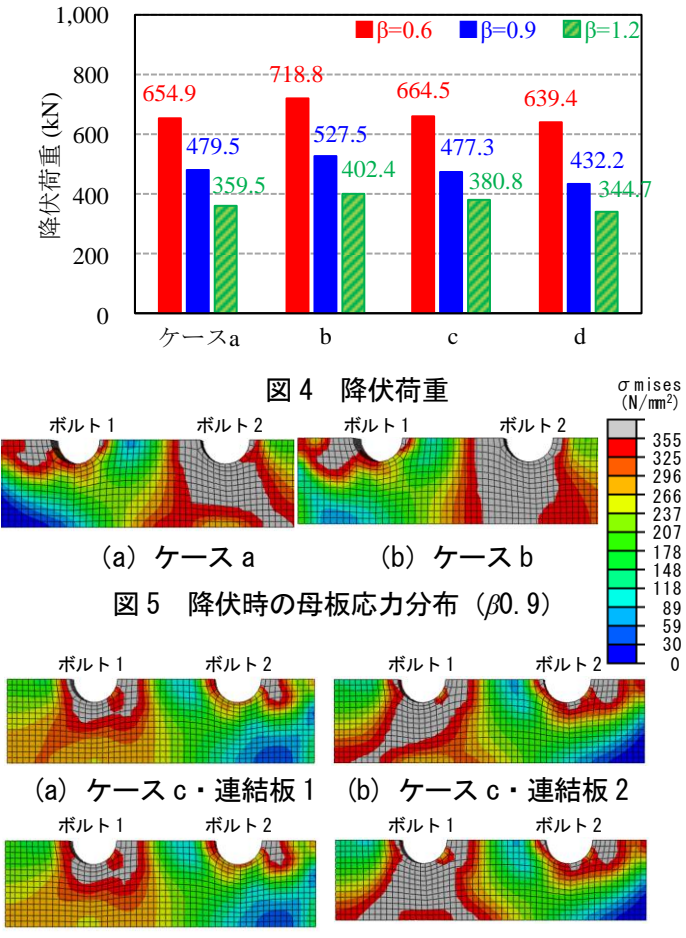
4. 解析結果および考察

解析で得られたすべり荷重を図3に示す. すべり荷重は,1行配置のケースaが複数行配置のケースbより高くなったが,その差は0.5%程度と小さかった. 片側の連結板を短冊状にしたケースcとdのすべり荷重もケースaより低くなったが,その差は最大でも1%程度であり,連結板を短冊状にしたことによるすべり耐力への影響は見られなかった.

降伏荷重を図4に示す. すべり/降伏耐力比βが大 きなケースほど降伏荷重が低くなったのは, β を母板 の降伏耐力で調整して継手を設計したためである. ケ ースaよりもケースbが10%程度高くなった.これは コバ面の拘束条件の違いにより図 5 のように降伏線 (図中の灰色が降伏領域) が異なったためである. ケ ース a ではボルト孔からコバ面へ斜めに、ケース b で は最短経路で降伏が進展した.ケースcはケースaよ りも 3%前後高く,ケース b よりケース a に近い結果 となった. これは、短冊側の連結板2のコバ面が拘束 されておらず,ケース a と同様に斜めの降伏線となり, 図6に示すように短冊状の連結板2が先行して降伏に 達するためである.ケースdでは短冊状の連結板2の 幅が狭く設計降伏耐力が低いため、ケース a の降伏荷 重より 7%前後低くなった. 板幅を狭くしたことによ る設計降伏耐力の低下が8%であり低下量はほぼ同等 となった.

終局荷重を**図7**に示す.ケース a に対して,ケース b が 10%前後高く,ケース c が 5%前後,ケース d は 2%前後高くなった.降伏荷重ではケース d の板幅を狭くした影響が出た一方で,降伏後の連結板の荷重分担の変化により,板幅を狭くした影響が小さくなったと考えられる.

以上の結果から、ボルトが複数行配置された高力ボルト摩擦接合継手で片側の連結板を短冊状にした場合



(c) ケース d・連結板 1 (d) ケース d・連結板 2 図 6 降伏時の連結板の応力分布 (β0.9)



でも、すべり耐力およびすべり後耐力への影響はほとんどないといえる.

参考文献

- [1] 高井 俊和,森山 仁志,山口 隆司,山本 佑大: 高力ボルト摩擦接合継手の横拘束のすべり挙動 に与える影響,平成 29 年度土木学会西部支部研 究発表会講演概要集,I-20,pp. 39-40, 2018.3
- [2] 松本 結実, 高井 俊和:降伏点の低いフィラーを 用いた高力ボルト摩擦接合継手のすべり後挙動 に関する解析的検討, 2019 年度土木学会関西支部 年次学術講演会講演概要集, I-1, 2ページ, 2019.5